

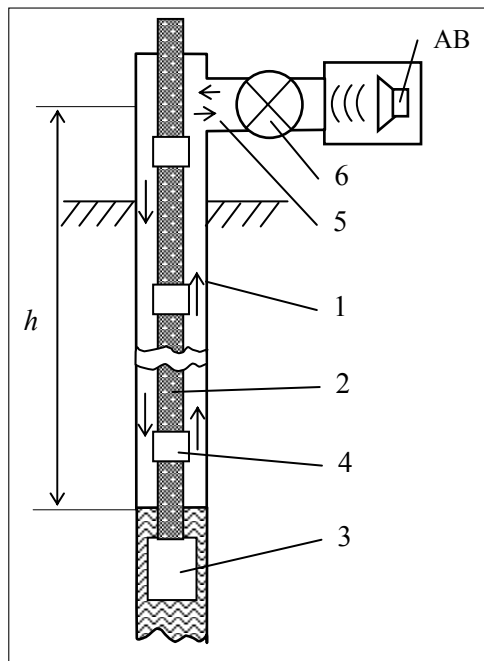
## ЗГАСАННЯ ЗВУКУ В МІЖТРУБНОМУ ПРОСТОРІ СВЕРДЛОВИН

**В.Я. ДАНИЛОВ, І.Я. НАУМЕНКО, В.І. КИЗИМА, С.М. КЛИМЕНКО**

Розглянуто найважливіший вид згасання звуку в міжтрубному просторі свердловин, обумовлений пограничним тертям середовища об стінки хвилевода типу «труба в трубі». Отримано аналітичний вираз для його розрахунку та експериментальні дані, необхідні для розробки електронного обладнання в галузі вимірювання рівня рідини у свердловинах акустичним дистанційним методом.

### ВСТУП

Акустичний метод ехолокації здавна використовується для дослідження



*Рис. 1.* Структура нафтової свердловини: 1 — обсадна труба; 2 — нафтопідіймна колона; 3 — глибинний насос; 4 — муфта; 5 — вхідний патрубок; 6 — вентель; АВ — джерело звуку

статичного та динамічного рівнів рідини в нафтових свердловинах і в цій галузі будь-якої серйозної альтернативи йому наразі не існує [1, 2]. Одним із чинників, що суттєво впливає на якісні характеристики ехолокації, є згасання звуку в міжтрубному просторі свердловин. Згідно з [2] це згасання розділяють на три основні складові: обумовлене поглинанням звуку в газовому середовищі; викликане відбиттями від з'єднувальних муфт або реперів, що знаходяться у міжтрубному просторі; обумовлене пограничним тертям середовища поширення звуку в міжтрубному просторі та нафтопідіймної колони. Наразі для моделі міжтрубного простору типу «труба в трубі» найбільш невивченим є третій вид згасання, який зазвичай у десятки разів перевищує інші за своєю величиною і часто є головною причиною обмеженої дальності дії свердловинних ехолокаторів. Саме цей вид згасання розглянуто в цій роботі.

## ПОСТАНОВКА ЗАДАЧІ

Структуру нафтової свердловини і шлях поширення акустичного сигналу під час зондування наведено на рис. 1. Зазвичай нафтова свердловина складається з обсадної труби 1, нафтопідйомної колони (внутрішньої труби) 2 та відповідного насосно-компресорного обладнання. Останнє складається з глибинного насоса 3 та електричних або механічних його приводів, а нафтопідйомна колона складається з нафтокомпресорних труб (НКТ), з'єднаних між собою муфтами 4. У міжтрубному просторі на глибині  $h$  знаходиться рідина (нафта або її суміш з водою), відстань до якої необхідно вимірювати в статичному й у динамічному режимах роботи свердловини. Введення звуку під час ехолокації свердловини здійснюється через короткий вхідний патрубок 5 та вентиль 6. В акустичному сенсі в більшості випадків нафтова свердловина є «вузькою трубою» або довгою акустичною лінією, в якій розповсюджується лише нульова мода акустичного сигналу (плоска хвиля) [1, 3]. Далі ми розглядатимемо хвилевід, в якому існують лише поздовжні коливання частинок середовища.

**Мета роботи** — вивчення згасання звуку в свердловині завдяки тертю рідини на границях міжтрубного простору.

## ПОБУДОВА МАТЕМАТИЧНОЇ МОДЕЛІ

Для отримання числових даних необхідно створити математичну модель згасання звуку в міжтрубному просторі. З цією метою будемо користуватися методикою роботи [4], де подібне завдання вирішене для одинокої труби. Під час поширення звукових хвиль у міжтрубному просторі (рис. 1) внаслідок гальмівної дії нерухомих поверхонь обсадної та нафтопідйомної труб виникають в'язкі сили. Під час наближення до поверхні швидкість коливань частинок середовища зменшується і стає практично нульовою в зоні безпосереднього контакту. Таким чином наявність в'язких сил призводить до згасання плоскої звукової хвилі під час поширення вздовж звуководу.

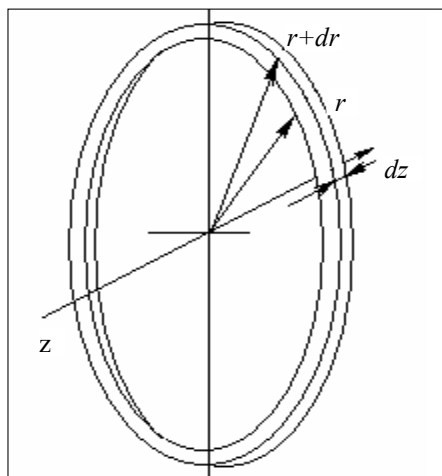


Рис. 2. Елементарний об'єм середовища в міжтрубному просторі:  $z$  — вертикальна координата;  $dz$  — приріст вертикальної координати;  $r + dr$  — зміна товщини рідини;  $r$  — товщина рідини

З цією метою будемо користуватися методикою роботи [4], де подібне завдання вирішене для одинокої труби. Під час поширення звукових хвиль у міжтрубному просторі (рис. 1) внаслідок гальмівної дії нерухомих поверхонь обсадної та нафтопідйомної труб виникають в'язкі сили. Під час наближення до поверхні швидкість коливань частинок середовища зменшується і стає практично нульовою в зоні безпосереднього контакту. Таким чином наявність в'язких сил призводить до згасання плоскої звукової хвилі під час поширення вздовж звуководу. Сила в'язкості  $f$  діє в перпендикулярному до стінок звуководу напрямку [4] і характеризується коефіцієнтом в'язкості  $\mu$ :

$$f = -\mu \frac{\partial \dot{\xi}}{\partial r}, \quad (1)$$

де  $\dot{\xi}$  — коливальна швидкість частинок середовища,  $\xi$  — зміщення частинок вздовж осі  $z$  (крапка над  $\xi$  тут і далі означає похідну від зміщення за часом),  $r$  — радіальна координата.

Рівняння руху газового середовища в міжтрубному просторі з урахуванням сил в'язкості для хвилеводу циліндричної форми отримаємо з умови рівноваги елемента, обмеженого площинами  $r$  та  $r + dr$ , а також  $z$  та  $z + dz$  у циліндричній системі координат (рис. 2). Об'єм елемента  $dV = 2\pi r dr dz$ , площа бокових граней —  $2\pi r dr$ , площа внутрішньої поверхні —  $2\pi r dz$ , площа зовнішньої поверхні —  $2\pi(r + dr) dz$ . Сила, що збуджує коливання елемента  $dV$ , визначається різницею тисків при  $z$  та  $z + dz$ :

$$p 2\pi r dr - \left( p + \frac{\partial p}{\partial z} dz \right) 2\pi r dr = - \frac{\partial p}{\partial z} 2\pi r dr dz. \quad (2)$$

Їй протидіє інерційна реакція  $\rho_0 dV \frac{\partial \dot{\xi}}{\partial t} = \rho_0 2\pi r dr dz \frac{\partial \dot{\xi}}{\partial t}$ . Окрім того, елемент знаходиться під дією двох в'язких сил: зсередини — прискорюючої, яку згідно з (1) можна записати у вигляді  $2\pi r f_r dz$ , а ззовні — гальмівної  $2\pi(r + dr) f_{r+dr} dz$ . Враховуючи це, умову рівноваги елемента  $dV$  запишемо таким чином:

$$- \frac{\partial p}{\partial z} 2\pi r dr dz + 2\pi r f_r dz = \rho_0 2\pi r dr dz \frac{\partial \dot{\xi}}{\partial t} + 2\pi(r + dr) f_{r+dr} dz.$$

Оскільки  $(r + dr) f_{r+dr} - r f_r = -\mu d \left( r \frac{\partial \dot{\xi}}{\partial r} \right) = -\mu r \left( \frac{\partial^2 \dot{\xi}}{\partial r^2} + \frac{1}{r} \frac{\partial \dot{\xi}}{\partial r} \right) dr$ , то

скоротивши всі члени на  $2\pi r dz dr$ , отримаємо рівняння

$$- \frac{\partial p}{\partial z} = \rho_0 \frac{\partial \dot{\xi}}{\partial t} - \mu \left( \frac{\partial^2 \dot{\xi}}{\partial r^2} + \frac{1}{r} \frac{\partial \dot{\xi}}{\partial r} \right).$$

Для гармонічного збудження воно набуває вигляду [4]:

$$\frac{\partial^2 \dot{\xi}}{\partial r^2} + \frac{1}{r} \frac{\partial \dot{\xi}}{\partial r} - \dot{\gamma}_r^2 \dot{\xi} = \frac{1}{\mu} \frac{\partial p}{\partial z}. \quad (3)$$

Тут  $\dot{\gamma}_r = \sqrt{\frac{j \cdot \omega \rho_0}{\mu}} = \gamma_r \sqrt{j} = \sqrt{\frac{\omega \rho_0}{2\mu}} (1 + j)$  — стала розповсюдження;

$\omega$  — кругова частота;  $\rho_0$  — густина середовища;  $j$  — уявна одиниця. Крапка над  $\gamma$  тут і далі означає комплексне число. Для моделі типу «труба в трубі» нульова швидкість частинок середовища безпосередньо на стінках міжтрубного простору дає такі граничні умови:

$$\dot{\xi}(r) \Big|_{r=a} = \dot{\xi}(r) \Big|_{r=b} = 0, \quad (4)$$

де  $a$  — радіус внутрішньої труби,  $b$  — радіус обсадної труби. Таким чином отримуємо крайову задачу для функцій Бесселя 0-го порядку:

$$\frac{\partial^2 \dot{\xi}}{\partial r^2} + \frac{1}{r} \frac{\partial \dot{\xi}}{\partial r} - \dot{\gamma}_r^2 \dot{\xi} = \frac{1}{\mu} \frac{\partial p}{\partial z}, \quad \dot{\xi}(r) \Big|_{r=a} = \dot{\xi}(r) \Big|_{r=b} = 0. \quad (5)$$

Розв'язок отриманого рівняння шукатимемо так:  $\dot{\xi}(r) = C_1 I_0(\dot{\gamma}_r r) + C_2 K_0(\dot{\gamma}_r r) + C_3$ , де  $I_0(\dot{\gamma}_r r)$  та  $K_0(\dot{\gamma}_r r)$  — модифіковані функції Бесселя

1-го та 2-го роду [5];  $C_1$  та  $C_2$  — константи;  $C_3$  — частковий розв’язок не-

однорідного рівняння  $C_3 = \frac{j \frac{\partial p}{\partial z}}{\omega \rho_0}$ ;  $\dot{\gamma}_r^2 = \frac{j \omega \rho_0}{\mu}$  — стала розповсюдження

в’язких хвиль у радіальному напрямку. Константи  $C_1$  та  $C_2$  знайдемо розв’язавши систему рівнянь, яку отримаємо з граничних умов (4):

$$\begin{cases} \dot{\xi}(\dot{\gamma}_r, a) = 0, \\ \dot{\xi}(\dot{\gamma}_r, b) = 0; \end{cases} \text{ або } \begin{cases} C_1 I_0(\dot{\gamma}_r, a) + C_2 K_0(\dot{\gamma}_r, a) + C_3 = 0, \\ C_1 I_0(\dot{\gamma}_r, b) + C_2 K_0(\dot{\gamma}_r, b) + C_3 = 0. \end{cases}$$

Розв’язок її має такий вигляд:

$$\begin{aligned} C_1 &= \frac{C_3 (K_0(\dot{\gamma}_r, a) - K_0(\dot{\gamma}_r, b))}{I_0(\dot{\gamma}_r, a) K_0(\dot{\gamma}_r, b) - I_0(\dot{\gamma}_r, b) K_0(\dot{\gamma}_r, a)}; \\ C_2 &= \frac{C_3 (I_0(\dot{\gamma}_r, b) - I_0(\dot{\gamma}_r, a))}{I_0(\dot{\gamma}_r, a) K_0(\dot{\gamma}_r, b) - I_0(\dot{\gamma}_r, b) K_0(\dot{\gamma}_r, a)}. \end{aligned} \quad (6)$$

Далі зробимо такі позначення:

$$\begin{aligned} C &= C_3, \quad C_1 = AC_3 = AC, \quad \text{де } A = \frac{K_0(\dot{\gamma}_r, a) - K_0(\dot{\gamma}_r, b)}{I_0(\dot{\gamma}_r, a) K_0(\dot{\gamma}_r, b) - I_0(\dot{\gamma}_r, b) K_0(\dot{\gamma}_r, a)}; \\ C_2 &= BC_3 = BC, \quad \text{де } B = \frac{I_0(\dot{\gamma}_r, b) - I_0(\dot{\gamma}_r, a)}{I_0(\dot{\gamma}_r, a) K_0(\dot{\gamma}_r, b) - I_0(\dot{\gamma}_r, b) K_0(\dot{\gamma}_r, a)}. \end{aligned}$$

Отже, радіальний розподіл швидкості коливань частинок середовища в міжтрубному просторі буде:

$$\begin{aligned} \dot{\xi}(r) &= AC I_0(\dot{\gamma}_r, r) + BCK_0(\dot{\gamma}_r, r) + C = C(AI_0(\dot{\gamma}_r, r) + BK_0(\dot{\gamma}_r, r) + 1) = \\ &= C \left( \frac{K_0(\dot{\gamma}_r, a) - K_0(\dot{\gamma}_r, b)}{I_0(\dot{\gamma}_r, a) K_0(\dot{\gamma}_r, b) - I_0(\dot{\gamma}_r, b) K_0(\dot{\gamma}_r, a)} I_0(\dot{\gamma}_r, r) + \right. \\ &\quad \left. + \frac{I_0(\dot{\gamma}_r, b) - I_0(\dot{\gamma}_r, a)}{I_0(\dot{\gamma}_r, a) K_0(\dot{\gamma}_r, b) - I_0(\dot{\gamma}_r, b) K_0(\dot{\gamma}_r, a)} K_0(\dot{\gamma}_r, r) + 1 \right) = \\ &= \frac{j \frac{\partial p}{\partial z}}{\omega \rho_0} \left( \frac{K_0(\dot{\gamma}_r, a) - K_0(\dot{\gamma}_r, b)}{I_0(\dot{\gamma}_r, a) K_0(\dot{\gamma}_r, b) - I_0(\dot{\gamma}_r, b) K_0(\dot{\gamma}_r, a)} I_0(\dot{\gamma}_r, r) + \right. \\ &\quad \left. + \frac{I_0(\dot{\gamma}_r, b) - I_0(\dot{\gamma}_r, a)}{I_0(\dot{\gamma}_r, a) K_0(\dot{\gamma}_r, b) - I_0(\dot{\gamma}_r, b) K_0(\dot{\gamma}_r, a)} K_0(\dot{\gamma}_r, r) + 1 \right). \end{aligned} \quad (7)$$

Тепер визначимо питомий акустичний опір міжтрубного простору  $\dot{z}_{\text{пит}}$  (крапка над  $z_{\text{пит}}$  тут і далі означатиме комплексне число). Згідно з [4] введемо його таким чином:

$$\dot{z}_{\text{пит}} = - \frac{\partial p}{\partial z} / \langle \dot{\xi} \rangle, \quad (8)$$

де  $\langle \dot{\xi} \rangle$  — середня по перерізу швидкість коливань частинок середовища. Знайдемо її:

$$\begin{aligned} \langle \dot{\xi} \rangle &= \frac{1}{\pi(b^2 - a^2)} \int_a^b \dot{\xi}(r) 2\pi r dr = \frac{1}{\pi(b^2 - a^2)} \int_a^b C(AI_0(\dot{\gamma}_r r) + BK_0(\dot{\gamma}_r r) + 1) 2\pi r dr = \\ &= \frac{2\pi C}{\pi(b^2 - a^2)} \int_a^b (AI_0(\dot{\gamma}_r r) + BK_0(\dot{\gamma}_r r) + 1) r dr = \\ &= \frac{2C}{\dot{\gamma}_r^2 (b^2 - a^2)} \int_a^b (AI_0(\dot{\gamma}_r r) + BK_0(\dot{\gamma}_r r) + 1) (\dot{\gamma}_r r) d(\dot{\gamma}_r r). \end{aligned}$$

Використовуючи рекурентне співвідношення для модифікованих функцій Бесселя [5]  $\left(\frac{1}{y} \frac{d}{dy}\right)^k \{y^\nu \Psi_\nu(y)\} = y^{\nu-k} \Psi_{\nu-k}(y)$ , де через  $\Psi_\nu(y)$  позначено  $I_\nu(y)$ , або  $e^{\nu \cdot \pi \cdot j} K_\nu(y)$ , при  $k=1$ ,  $\nu=1$  співвідношення запишуться як:  $d(y \cdot I_1(y)) = (y \cdot I_0(y)) dy$ ,  $d(y \cdot e^{\pi \cdot j} K_1(y)) = (y K_0(y)) dy$ . Отже, для середньої швидкості отримаємо вираз:

$$\begin{aligned} \langle \dot{\xi} \rangle &= \frac{2C}{\dot{\gamma}_r^2 (b^2 - a^2)} \int_a^b (A \cdot I_0(\dot{\gamma}_r r) + B \cdot K_0(\dot{\gamma}_r r) + 1) (\dot{\gamma}_r r) d(\dot{\gamma}_r r) = \\ &= \frac{2C}{\dot{\gamma}_r^2 (b^2 - a^2)} \left( A(\dot{\gamma}_r r) I_1(\dot{\gamma}_r r) + B \cdot (\dot{\gamma}_r r) \cdot e^{\pi \cdot j} K_1(\dot{\gamma}_r r) + \frac{(\dot{\gamma}_r r)^2}{2} \right) \Bigg|_a^b = \\ &= \frac{j \frac{\partial p}{\partial z}}{\omega \rho_0} \left( \frac{2}{\dot{\gamma}_r^2 (b^2 - a^2)} (A((\dot{\gamma}_r b) I_1(\dot{\gamma}_r b) - (\dot{\gamma}_r a) I_1(\dot{\gamma}_r a)) + B e^{\pi \cdot j} ((\dot{\gamma}_r b) K_1(\dot{\gamma}_r b) - (\dot{\gamma}_r a) K_1(\dot{\gamma}_r a))) + 1 \right) = \\ &= \frac{j \frac{\partial p}{\partial z}}{\omega \rho_0} \left( \frac{2}{\dot{\gamma}_r^2 (b^2 - a^2)} (A((\dot{\gamma}_r b) I_1(\dot{\gamma}_r b) - (\dot{\gamma}_r a) I_1(\dot{\gamma}_r a)) - B((\dot{\gamma}_r b) K_1(\dot{\gamma}_r b) - (\dot{\gamma}_r a) K_1(\dot{\gamma}_r a))) + 1 \right). \quad (9) \end{aligned}$$

Тоді питомий акустичний опір хвилеводу типу «труба в трубі» буде

$$\begin{aligned} z_{\text{пит}} &= \frac{-\frac{\partial p}{\partial z}}{\langle \dot{\xi} \rangle} = \frac{-\frac{\partial p}{\partial z}}{\frac{j \frac{\partial p}{\partial z}}{\omega \rho_0} \left( \frac{2}{\dot{\gamma}_r^2 (b^2 - a^2)} (A((\dot{\gamma}_r b) I_1(\dot{\gamma}_r b) - (\dot{\gamma}_r a) I_1(\dot{\gamma}_r a)) - B((\dot{\gamma}_r b) K_1(\dot{\gamma}_r b) - (\dot{\gamma}_r a) K_1(\dot{\gamma}_r a))) + 1 \right)} = \\ &= \frac{\omega \rho_0}{\frac{2}{\dot{\gamma}_r^2 (b^2 - a^2)} (A((\dot{\gamma}_r b) I_1(\dot{\gamma}_r b) - (\dot{\gamma}_r a) I_1(\dot{\gamma}_r a)) - B((\dot{\gamma}_r b) K_1(\dot{\gamma}_r b) - (\dot{\gamma}_r a) K_1(\dot{\gamma}_r a))) + 1} = \end{aligned}$$

$$= r_{\text{num}} + j\omega\rho_{\text{эф}}, \quad (10)$$

де:  $r_{\text{num}}$  — активний питомий опір;  $\rho_{\text{эф}}$  — ефективна густина. Оскільки аргументи функцій Бесселя комплексні, то і самі значення цих функцій будуть комплексними, а отже, активний питомий опір та ефективну густину для нашого звукопроводу отримаємо у вигляді:

$$r_{\text{num}} = \text{Re } \dot{z}_{\text{num}} =$$

$$= \text{Re} \left[ \frac{j\omega\rho_0}{\frac{2}{\dot{\gamma}_r^2(b^2 - a^2)} (A((\dot{\gamma}_r b)I_1(\dot{\gamma}_r b) - (\dot{\gamma}_r a)I_1(\dot{\gamma}_r a)) - B((\dot{\gamma}_r b)K_1(\dot{\gamma}_r b) - (\dot{\gamma}_r a)K_1(\dot{\gamma}_r a))) + 1} \right],$$

$$\rho_{\text{эф}} = \frac{1}{\omega} \text{Im } \dot{z}_{\text{num}} = \frac{1}{\omega} \text{Im} \left[ \frac{j\omega\rho_0}{\frac{2}{\dot{\gamma}_r^2(b^2 - a^2)} (A((\dot{\gamma}_r b)I_1(\dot{\gamma}_r b) - (\dot{\gamma}_r a)I_1(\dot{\gamma}_r a)) - B((\dot{\gamma}_r b)K_1(\dot{\gamma}_r b) - (\dot{\gamma}_r a)K_1(\dot{\gamma}_r a))) - 1} \right].$$

В області значень  $\gamma_r a > 10$ , тобто для *широких* труб [4], якими є нафтові свердловини, використовуємо асимптотичні наближення для модифікованих функцій Бесселя [5]:  $I_\nu(y) \approx \frac{e^y}{\sqrt{2\pi y}}$ ,  $K_\nu(y) \approx \sqrt{\frac{\pi}{2y}} e^{-y}$ . Враховуючи їх, після перетворень у знаменнику (10) отримаємо:

$$A((\dot{\gamma}_r b)I_1(\dot{\gamma}_r b) - (\dot{\gamma}_r a)I_1(\dot{\gamma}_r a)) + B((\dot{\gamma}_r b)K_1(\dot{\gamma}_r b) - (\dot{\gamma}_r a)K_1(\dot{\gamma}_r a)) =$$

$$= -\dot{\gamma}_r(b+a) \text{cth}(\dot{\gamma}_r(b-a)) + \frac{2 \cdot \dot{\gamma}_r \sqrt{a \cdot b}}{\text{sh}(\dot{\gamma}_r(b-a))}.$$

Якщо  $\gamma_r(b-a) > 10$ , то  $-\dot{\gamma}_r(b+a) \text{cth}(\dot{\gamma}_r(b-a)) + \frac{2\dot{\gamma}_r \sqrt{ab}}{\text{sh}(\dot{\gamma}_r(b-a))} \approx -\dot{\gamma}_r(b+a)$ ,

тоді формула (8) набуде вигляду

$$\dot{z}_{\text{пит}} = \frac{j\omega\rho_0}{\left( \frac{2}{\dot{\gamma}_r^2(b^2 - a^2)} \cdot (-\dot{\gamma}_r(b+a)) + 1 \right)} = \frac{j\omega\rho_0}{\left( -\frac{2}{\dot{\gamma}_r(b-a)} + 1 \right)} \approx$$

$$\approx j\omega\rho_0\left(1 + \frac{2}{\dot{\gamma}_r(b-a)}\right). \quad (11)$$

Далі, враховуючи, що  $\dot{\gamma}_r = \sqrt{\frac{j\omega\rho_0}{\mu}}$ , отримуємо

$$\dot{z}_{\text{num}} = j\omega\rho_0\left(1 + \frac{2}{(b-a)\sqrt{\frac{j\omega\rho_0}{\mu}}}\right) = \frac{\sqrt{2\omega\mu\rho_0}}{(b-a)} + j\omega\left(\rho_0 + \frac{\sqrt{2\omega\mu\rho_0}}{\omega(b-a)}\right), \quad (12)$$

тобто

$$r_{\text{num}} = \frac{\sqrt{2\omega\mu\rho_0}}{(b-a)}, \text{ а } \rho_{\text{еф}} = \rho_0 + \frac{\sqrt{2\omega\mu\rho_0}}{\omega(b-a)}. \quad (13)$$

Знайдемо згасання, обумовлене пограничним тертям. У відповідності з (3) рівняння руху для звуководу матиме вигляд:

$$-\frac{\partial p}{\partial z} = \dot{z}_{\text{num}}\dot{\xi} = r_{\text{num}}\dot{\xi} + j\omega\rho_{\text{еф}}\dot{\xi}, \quad (14)$$

де  $\dot{\xi}$  — усереднена по перерізу хвилеводу швидкість коливань середовища.

Для випадку синусоїдальних коливань, замінивши  $j\omega$  на  $\frac{\partial}{\partial t}$ , отримаємо

$$-\frac{\partial p}{\partial z} = r_{\text{num}}\dot{\xi} + \rho_{\text{еф}}\frac{\partial \dot{\xi}}{\partial t}. \quad (15)$$

Для плоскої хвилі рівняння неперервності має вигляд [4]:

$$-\frac{\partial p}{\partial e} = E\frac{\partial \dot{\xi}}{\partial z}. \quad (16)$$

Диференціюючи (15) по  $t$ , а (16) по  $z$  та прирівнявши праві частини отриманих співвідношень, маємо:

$$-\frac{\partial^2 p}{\partial z \partial t} = r_{\text{num}}\frac{\partial \dot{\xi}}{\partial t} + \rho_{\text{еф}}\frac{\partial^2 \dot{\xi}}{\partial t^2}; \quad -\frac{\partial^2 p}{\partial z \partial t} = E\frac{\partial^2 \dot{\xi}}{\partial z^2}; \quad \rho_{\text{еф}}\frac{\partial^2 \dot{\xi}}{\partial t^2} + r_{\text{num}}\frac{\partial \dot{\xi}}{\partial t} = E\frac{\partial^2 \dot{\xi}}{\partial z^2},$$

або після ділення всіх членів на  $\rho_0$ :

$$\frac{\partial^2 \dot{\xi}}{\partial t^2} + \frac{r_{\text{num}}}{\rho_{\text{еф}}}\frac{\partial \dot{\xi}}{\partial t} = c_0'^2\frac{\partial^2 \dot{\xi}}{\partial z^2}, \text{ де } c_0' = \sqrt{E/\rho_{\text{еф}}} = \sqrt{\frac{E}{\rho_0} \frac{\rho_0}{\rho_{\text{еф}}}} = c_0\sqrt{\frac{\rho_0}{\rho_{\text{еф}}}}. \quad (17)$$

Отримане рівняння описує поширення хвилі у звукопроводі з урахуванням пограничного тертя. Для гармонічного випадку маємо:  $\frac{\partial}{\partial t} = j\omega$  та

$$\frac{\partial^2}{\partial t^2} = (j\omega)^2, \text{ тоді}$$

$$\frac{\partial^2 \dot{\xi}}{\partial z^2} - \frac{1}{c_0'^2}\left(-\omega^2 \dot{\xi} + \frac{r_{\text{num}}}{\rho_{\text{еф}}}j\omega \dot{\xi}\right) = \frac{\partial^2 \dot{\xi}}{\partial z^2} - \left(-\frac{\omega^2}{c_0'^2}\left(1 - j\frac{r_{\text{num}}}{\omega\rho_{\text{еф}}}\right)\right)\dot{\xi} = 0$$

або

$$\frac{d^2 \dot{\xi}}{dz^2} - \dot{\gamma}^2 \dot{\xi} = 0. \quad (18)$$

Тут  $\dot{\gamma}$  — стала розповсюдження, що має вигляд:

$$\dot{\gamma} = j \frac{\omega}{c_0'} \sqrt{1 - j \frac{r_{\text{num}}}{\omega \rho_{\text{еф}}}} = j \frac{\omega}{c_0} \sqrt{\frac{\rho_{\text{еф}}}{\rho_0}} \sqrt{1 - j \frac{r_{\text{num}}}{\omega \rho_{\text{еф}}}} = \alpha_m + jk, \quad (19)$$

де  $\alpha_m$  та  $k$  — дійсна та уявна частини сталої розповсюдження  $\dot{\gamma}$ , які називаються відповідно коефіцієнтом згасання та хвильовим числом. Обмежимося хвилями прямого напрямку та запишемо розв'язок рівняння (18) у вигляді:

$$\dot{\xi} = \text{const } e^{-\dot{\gamma}z} = \text{const } e^{-\alpha_m z} e^{-jkz}. \quad (20)$$

Співвідношення (20) описує згасаючу звукову хвилю, ослаблення якої по осі  $z$  визначається членом  $e^{-\alpha_m z}$ .

При  $\gamma_r(b-a) = \sqrt{\frac{\omega \rho_0}{\mu}}(b-a) \geq 10$  опір  $r_{\text{num}}$  виражається формулою (13), так що  $r_{\text{num}} \ll \omega \rho_{\text{еф}}$ ,  $\rho_{\text{еф}} \approx \rho_0$ ,  $c_0' \approx c_0$  із (19) отримуємо:

$$\dot{\gamma} = \frac{r_{\text{num}}}{2\rho_0 c_0} + j \frac{\omega}{c_0}; \quad \alpha_m = \frac{r_{\text{num}}}{2\rho_0 c_0}; \quad k = \frac{\omega}{c_0}. \quad (21)$$

З (19) та (21) отримуємо вираз для згасання, обумовленого пограничним тертям:

$$\alpha_m = \frac{1}{2\rho_0 c_0} \frac{\sqrt{2\omega \rho_0 \mu}}{b-a} = \frac{1}{c_0(b-a)} \sqrt{\frac{\omega \mu}{2\rho_0}}. \quad (22)$$

Значимо, що коефіцієнт згасання звуку в одинокій трубі згідно з [4] для  $\gamma_r b > 10$  розраховується за формулою:

$$\alpha_m = \frac{r_{\text{num}}}{2\rho_0 c_0} = \frac{\sqrt{2\omega \rho_0 \mu}/b}{2\rho_0 c_0} = \frac{1}{bc_0} \sqrt{\frac{\omega \mu}{2\rho_0}}, \quad (23)$$

де  $b$  — внутрішній радіус труби. Умова  $\gamma_r b > 10$  відповідає «широкій трубі», коли радіус дії в'язких сил біля її поверхні значно менший за радіус самої труби.

На рис. 3 наведено графіки згасання звуку в розглянутій двотрубній моделі хвилевода і в одинокій трубі, як було отримано теоретичним та експериментальними шляхами. Теоретичні залежності 1 і 3 обчислювались згідно з формулами (22) і (23), а експериментальні 2 і 4 — отримувались на фізичній моделі свердловини, за яку використовувались дві металеві труби діаметром 70 та 40 мм. Вимірювання відбувалося в режимі ехолокації на імпульсних сигналах у діапазоні частот 200–2000 Гц, а згасання оцінювалося за амплітудними значеннями серії отримуваних ехо-сигналів від протилежного кінця труби, закритого жорсткою кришкою. Як видно з рис. 3 фактичне згасання звуку в одинокій трубі майже в три рази перевищує його



теоретичне значення, визначене в [4]. Для хвилеводу типу «труба в трубі» розбіжності між теоретичними та експериментальними даними ще більші (до 3,5 рази). Це, на нашу думку, обумовлено наявною шорсткістю стінок реального хвилеводу, яка не врахована у наведених вище співвідношеннях та неідеальністю властивостей хвилеводу, як жорсткої конструкції, а також похибками експерименту.

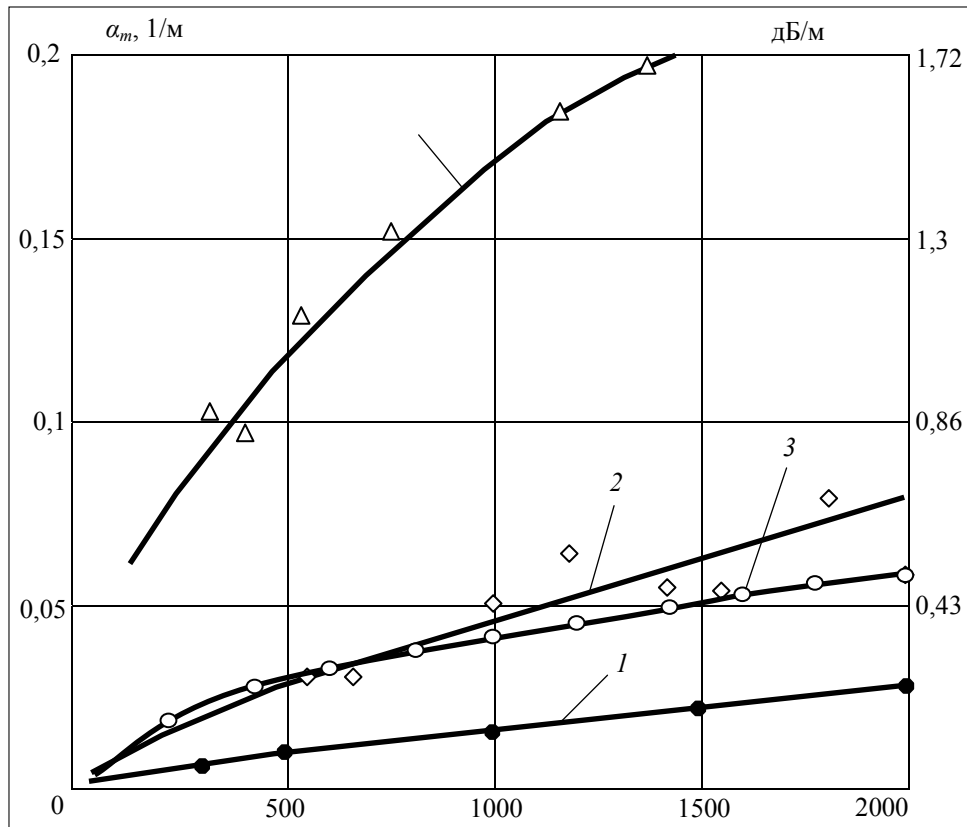


Рис. 3. Згасання звуку в трубному хвилеводі, обумовлене пограничним тертям: 1 — одинока труба  $2b=70$  мм — теоретична крива; 2 — одинока труба  $2b=70$  мм — крива отримана експериментальним шляхом; 3–4 — хвилевід типу «труба в трубі»,  $2b=70$  мм,  $2a=40$  мм; 3 — теоретична крива; 4 — крива отримана експериментальним шляхом

## ВИСНОВКИ

Як бачимо фактичне згасання звуку у хвилеводі типу «труба в трубі» в 3–3,5 рази більше, ніж в одинокій трубі. Зазначимо, що цей вид згасання для свердловинної ехолокації є головним і, зокрема, на частоті 250 Гц для вибраних в експерименті діаметрів труб складає значну величину — приблизно 0,7 дБ/м або 70 дБ на кожні 100 м. Для порівняння, згасання, яке зумовлене поглинанням, на тій же частоті згідно з [6] не перевищує 0,11 дБ на 100 м. Тому в нафтових свердловинах, глибини яких сягають кількох кілометрів, ехолокація рівня рідини ведеться в інфранизькочастотному діапазоні

(5–10 Гц), де згасання значно менше [1]. Отримані результати є важливим вихідним матеріалом для розрахунку фактичних можливостей акустичного методу ехолокації рівня рідини як у нафтових свердловинах, так і у свердловинах інших типів — газових, артезіанських, спостережних.

#### **ЛІТЕРАТУРА**

1. *Данилов В.Я., Науменко І.Я., Кизима В.І.* Проблеми акустичного зондування свердловин та апаратний комплекс для їхнього вирішення // Системні дослідження та інформаційні технології. — 2008. — № 1. — С. 50–62.
2. *Науменко І.Я., Кизима В.І., Бульбас В.Н., Бершадська В.В.* Потенційна точність вимірювання рівня рідини в свердловинах акустичним методом із використанням з'єднувальних муфт // Нафтова і газова промисловість. — 2008. — № 4. — С. 37–39.
3. *Исакович М.А.* Общая акустика. — М.: Наука, 1973. — 496 с.
4. *Вахитов Я.Ш.* Теоретические основы электроакустики и электроакустическая аппаратура. — М.: Искусство, 1982. — 415 с.
5. *Справочник по специальным функциям* / Под. ред. М. Абрамовица и И. Стиган. — М.: Наука, 1979. — 832 с.
6. *Горбатов А.А., Рудашевский Г.Е.* Акустические методы измерения расстояний и управления. — М.: Энергоиздат, 1981. — 208 с.

*Надійшла 08.12.2009*